

Fédération MIRES

Mathématiques et Intéractions Images et information numérique REseaux et Sécurité

Séminaire Axe 2 – Images

Jeudi 02 juin 2022 à Poitiers







Optimisation du confort dans les enceintes habitables :

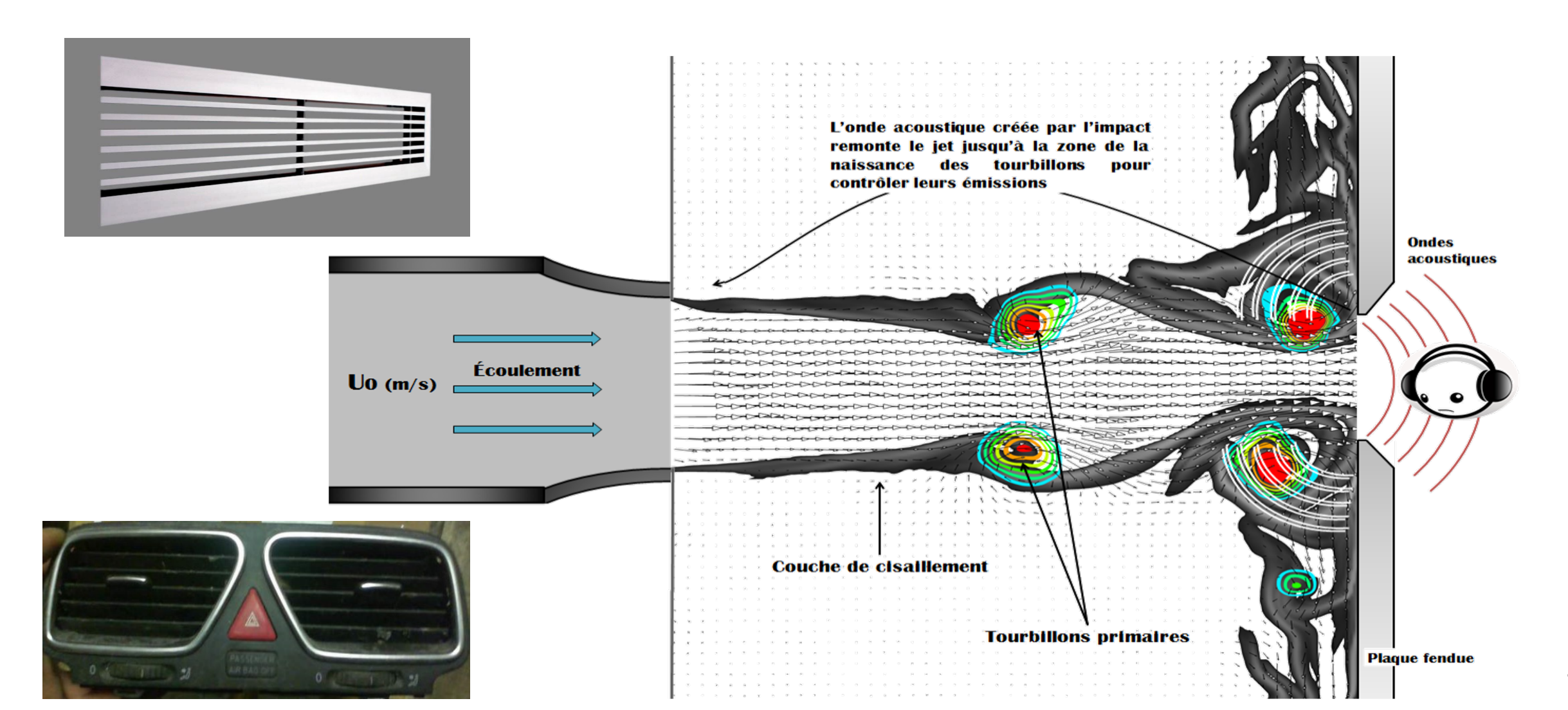
Corrélations Aéroacoustiques par Images de Particules

Kamel ABED-MERAIM

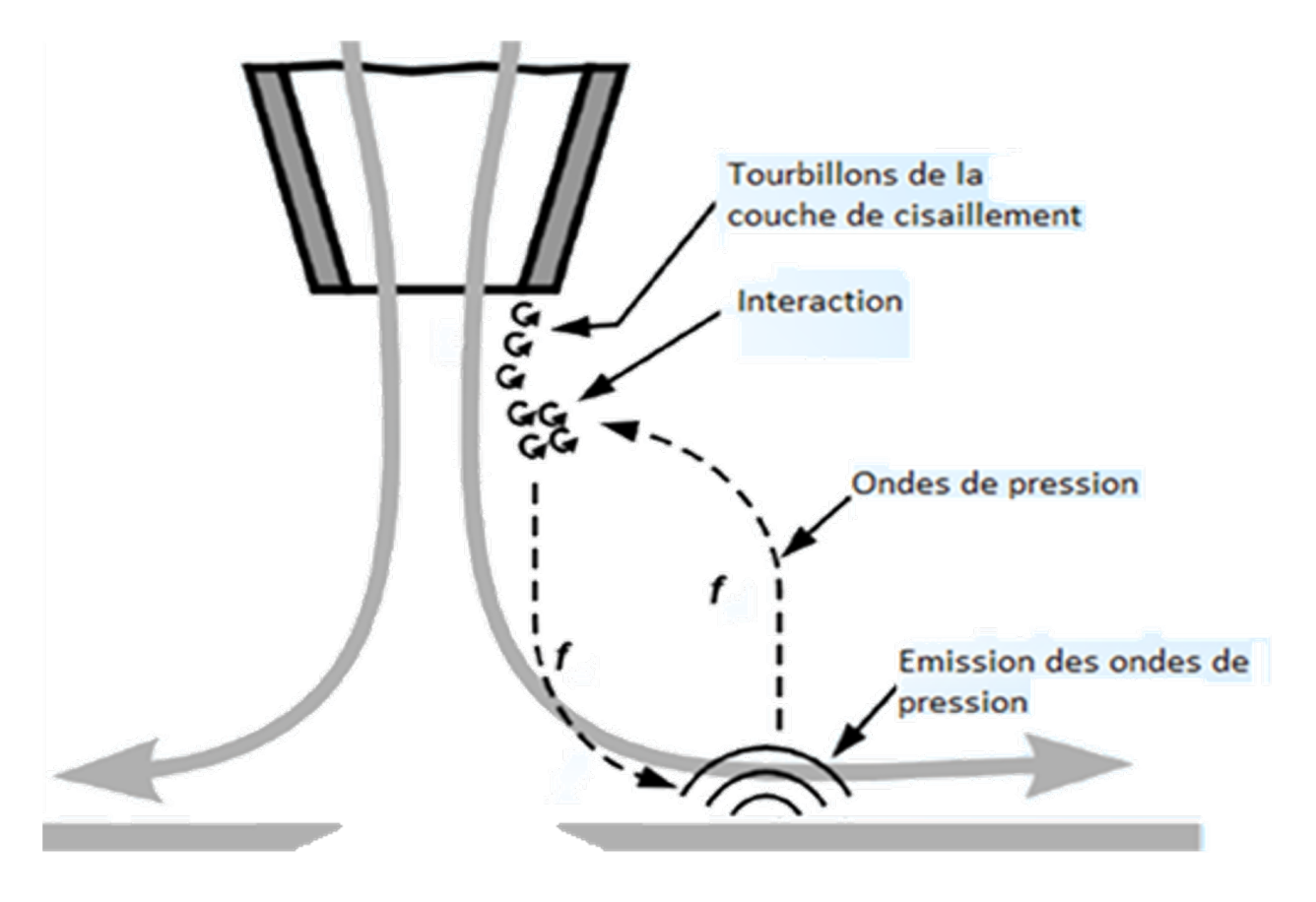
Maitre de Conférences

60ème section CNU

Contexte



Boucles de rétroaction et sons auto-entretenus



Dans certaines conditions de cinétique et de confinement, les bruits des écoulements peuvent s'intensifier avec l'apparition d'une boucle de rétroaction qui s'installe entre la sortie du jet l'obstacle présent sur la trajectoire de l'écoulement.

Boucle de rétroaction

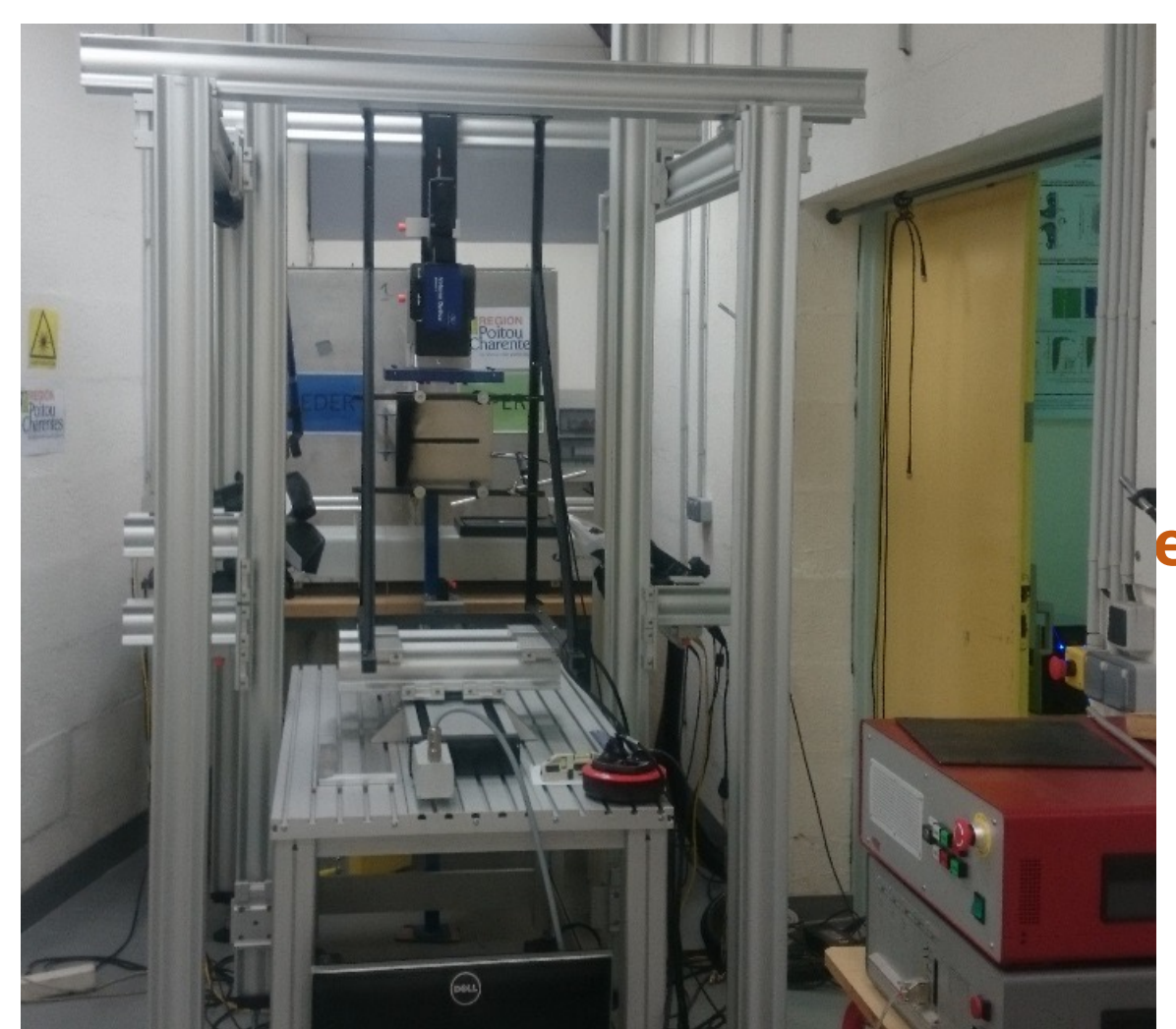
- ☐ Générer les écoulements à étudier
- **□** Expérimenter et visualiser les configurations bruyantes
 - ☐ Appréhender les phénomènes mis en cause



Comprendre les mécanismes de couplages aéro-acoustiques



Amélioration du confort acoustique avec des dispositifs de contrôle

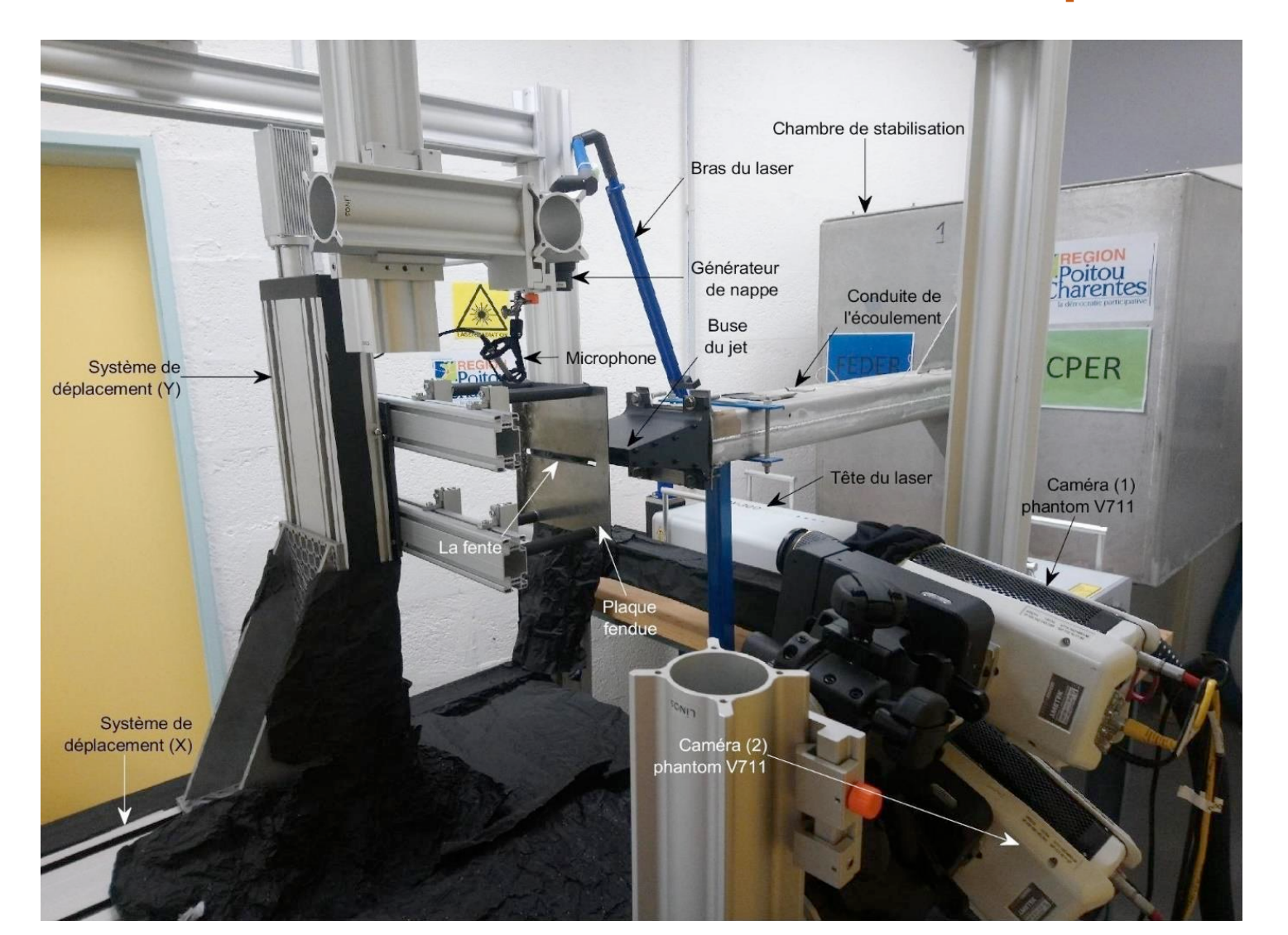




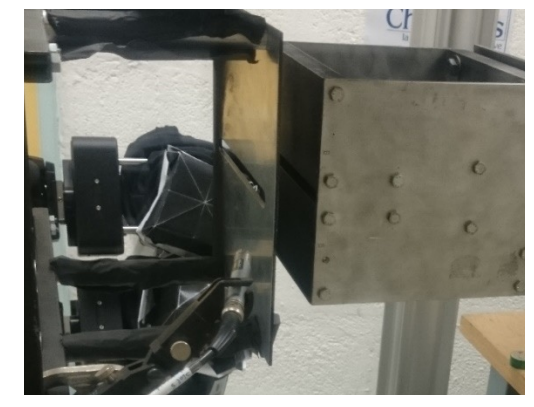
Plateforme expérimentale



Plateforme expérimentale



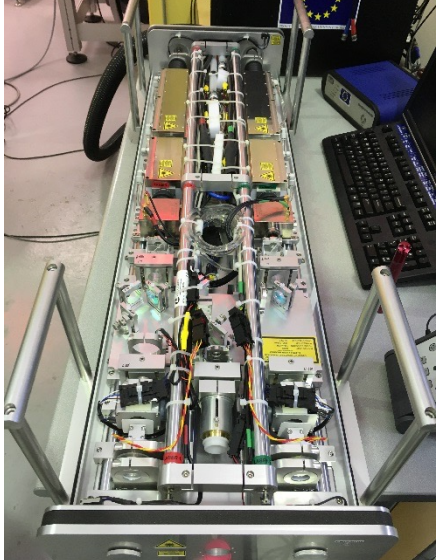




Plateforme expérimentale

Génération de nappe ou de volume d'éclairage Laser

Laser pulsé à deux têtes : 30 mJ par pulse

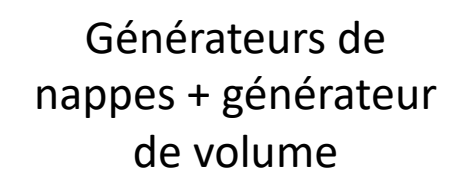


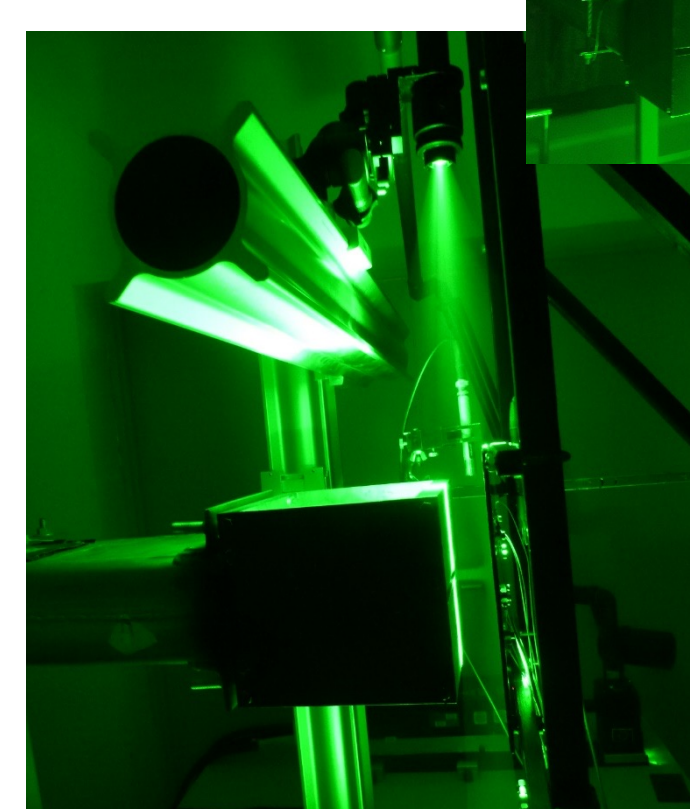




Bras Laser







Plateforme expérimentale

Génération et acquisition d'images de particules

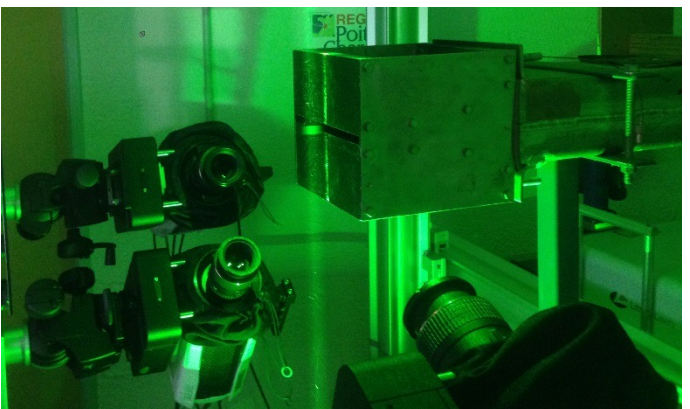
Générateurs de particules

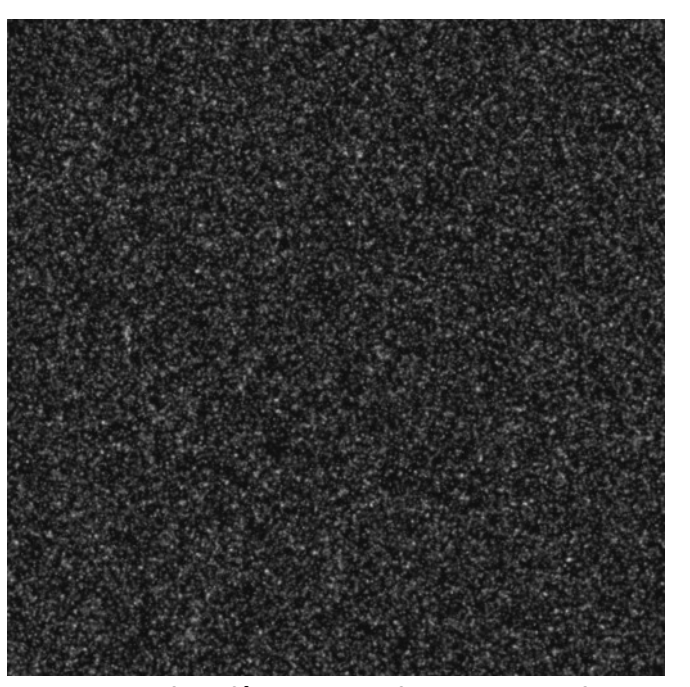




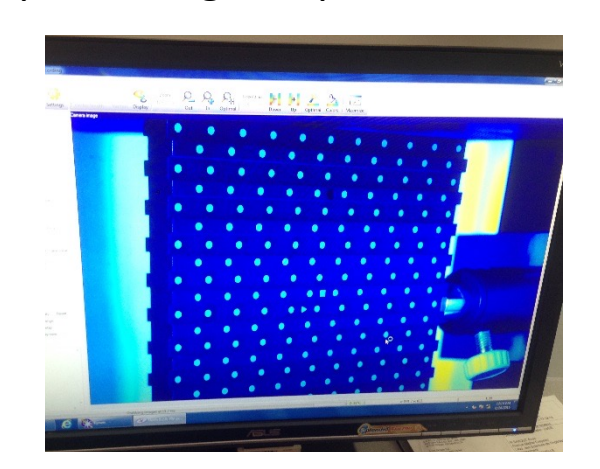
Caméras rapides Phantom V711

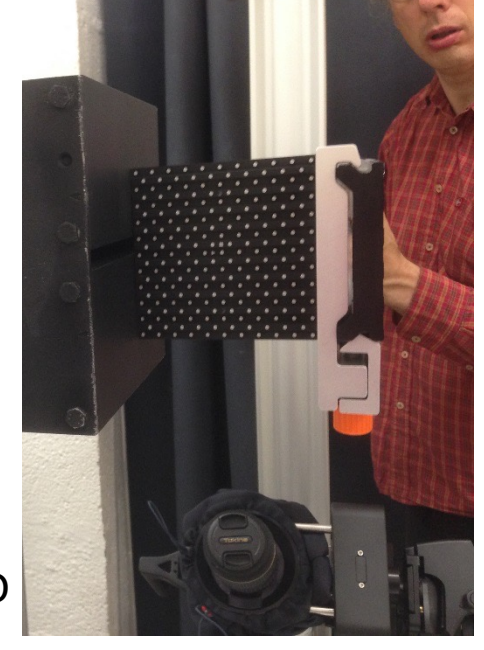






Exemple d'image de particules



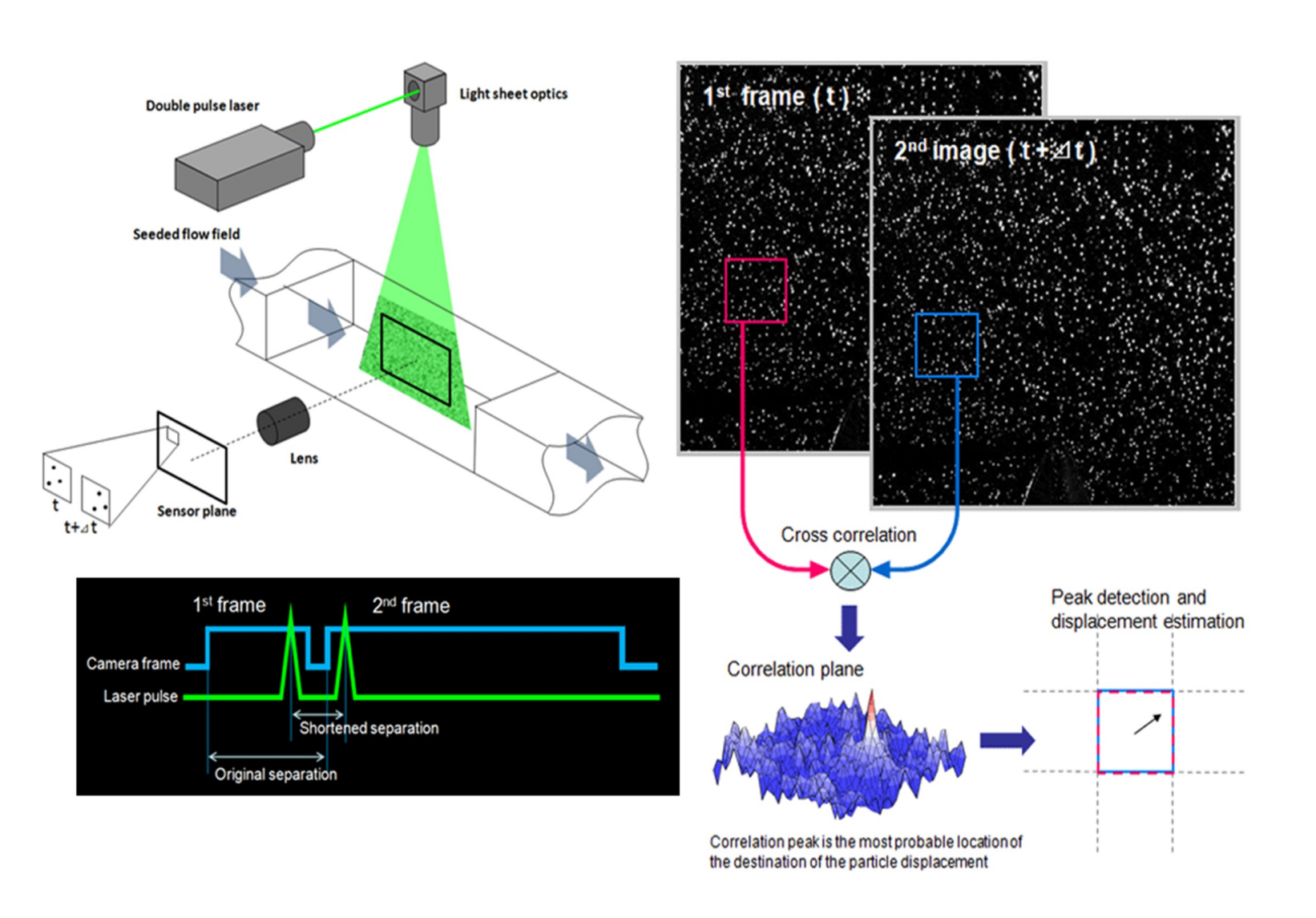


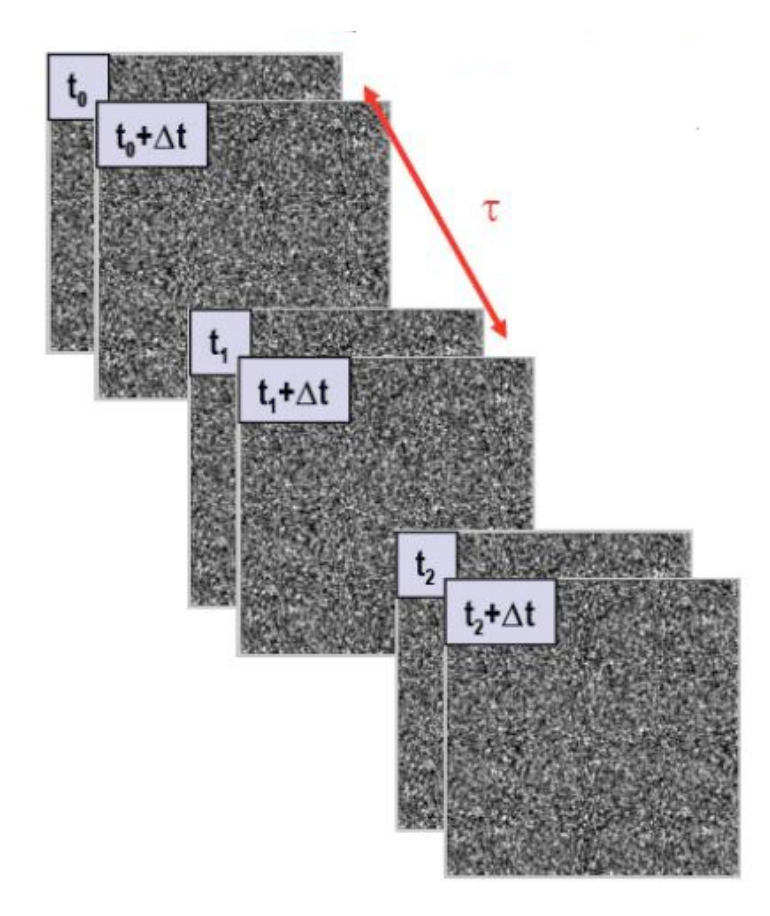
Mire 3D



Métrologie de plein champ

Vélocimétrie par Images de Particules

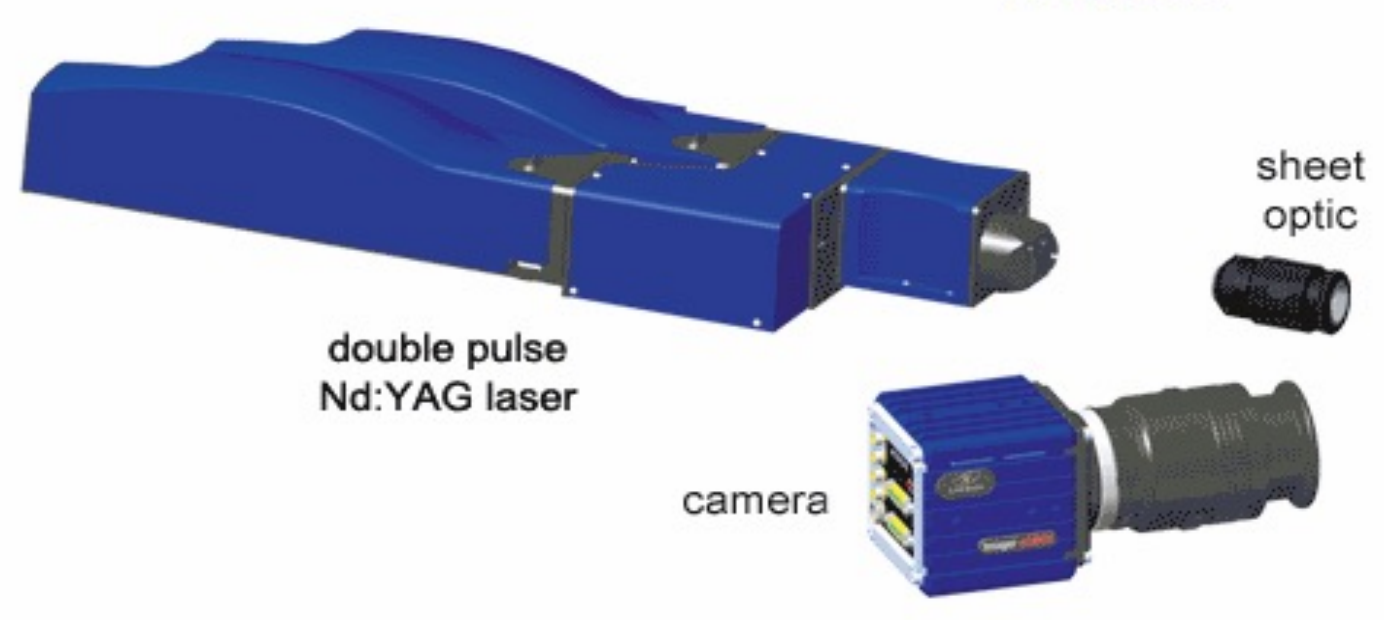




Métrologie de plein champ

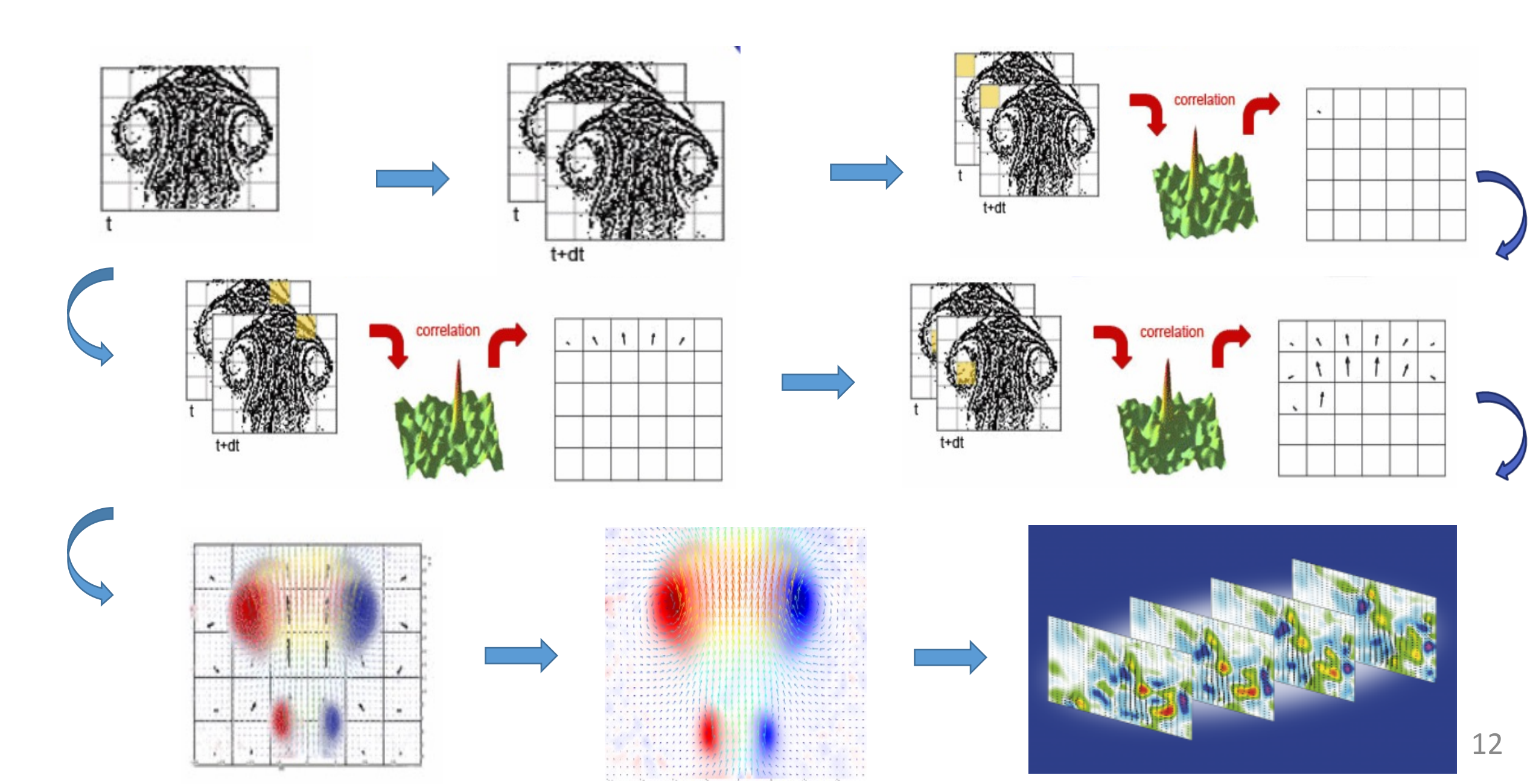
Vélocimétrie par Images de Particules



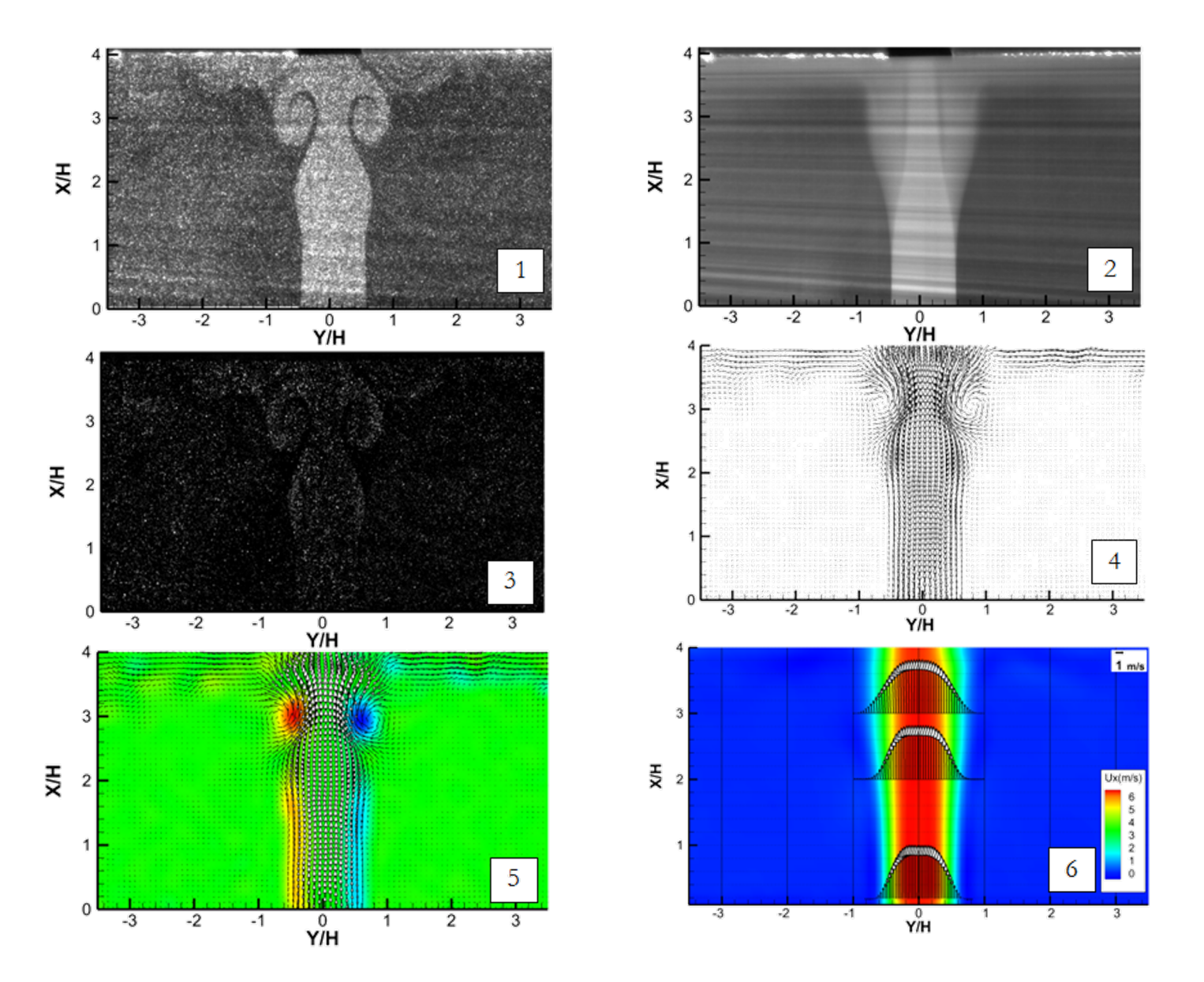




Vélocimétrie par Images de Particules

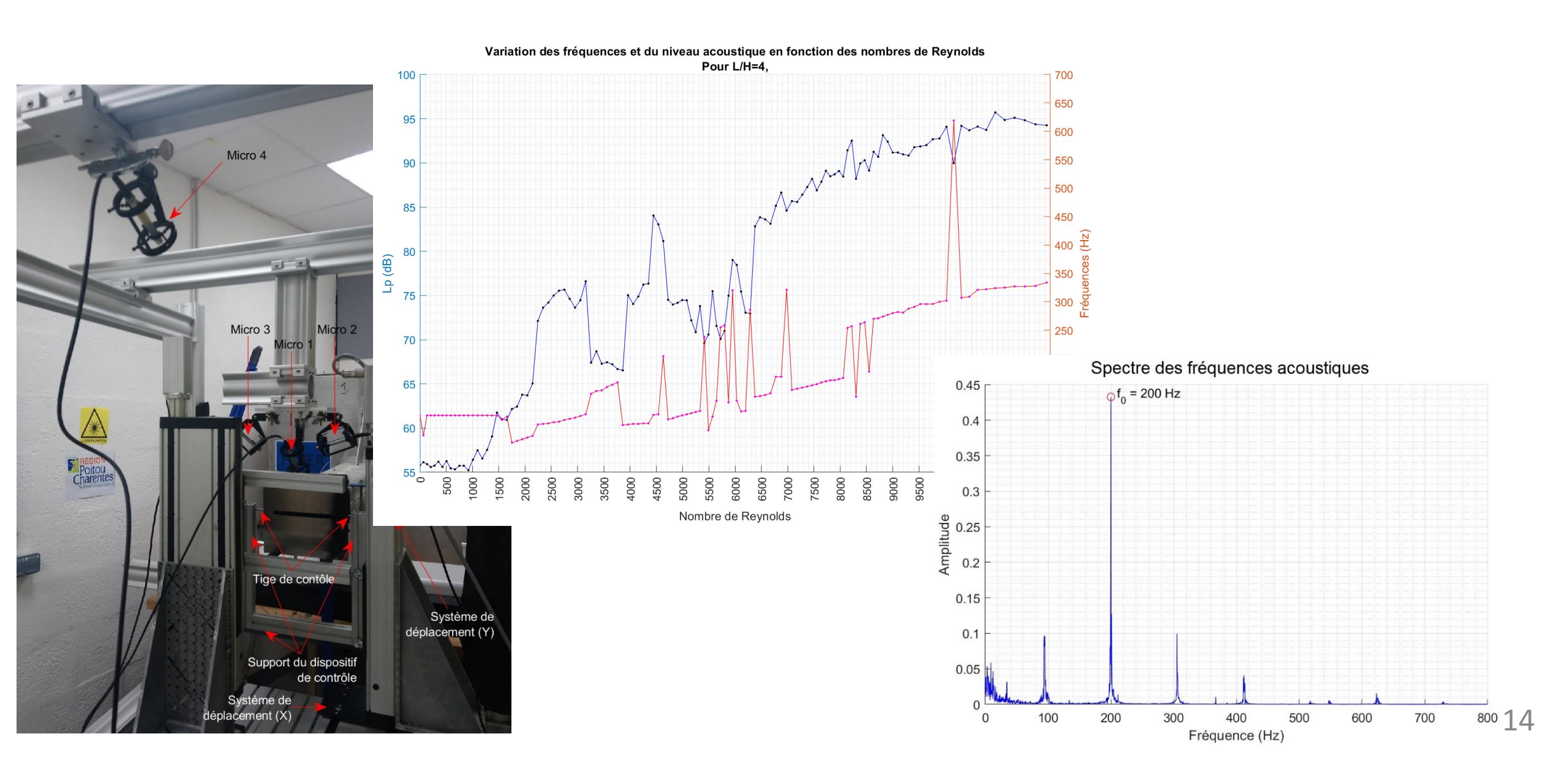


Exploitation des Images de Particules



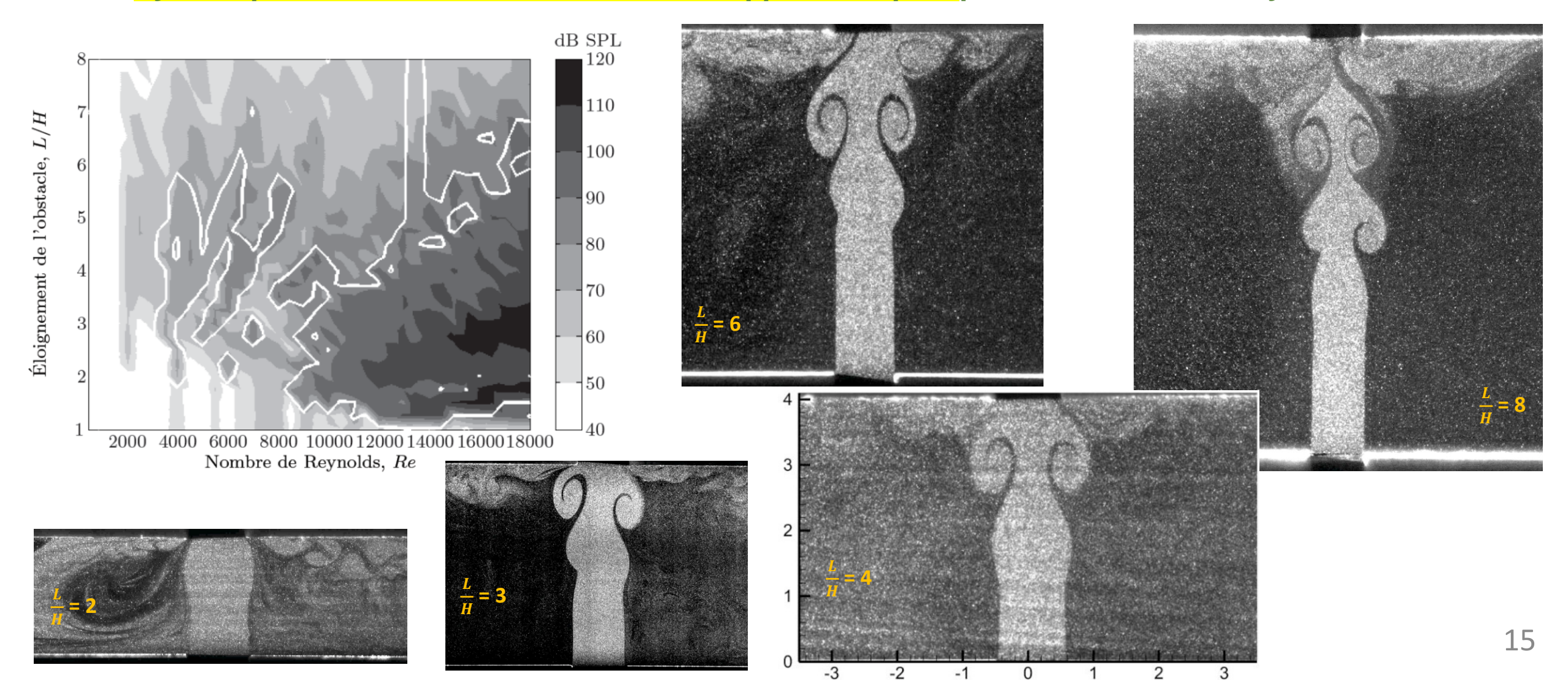
- 1. Champ particulaire brut
- 2. Champ moyen
- 3. Champ particulaire filtré
- 4. Champ cinématique instantané
- 5. Champ de vorticité
- 6. Profiles transversaux

Mesure et analyse des champs acoustiques rayonnés



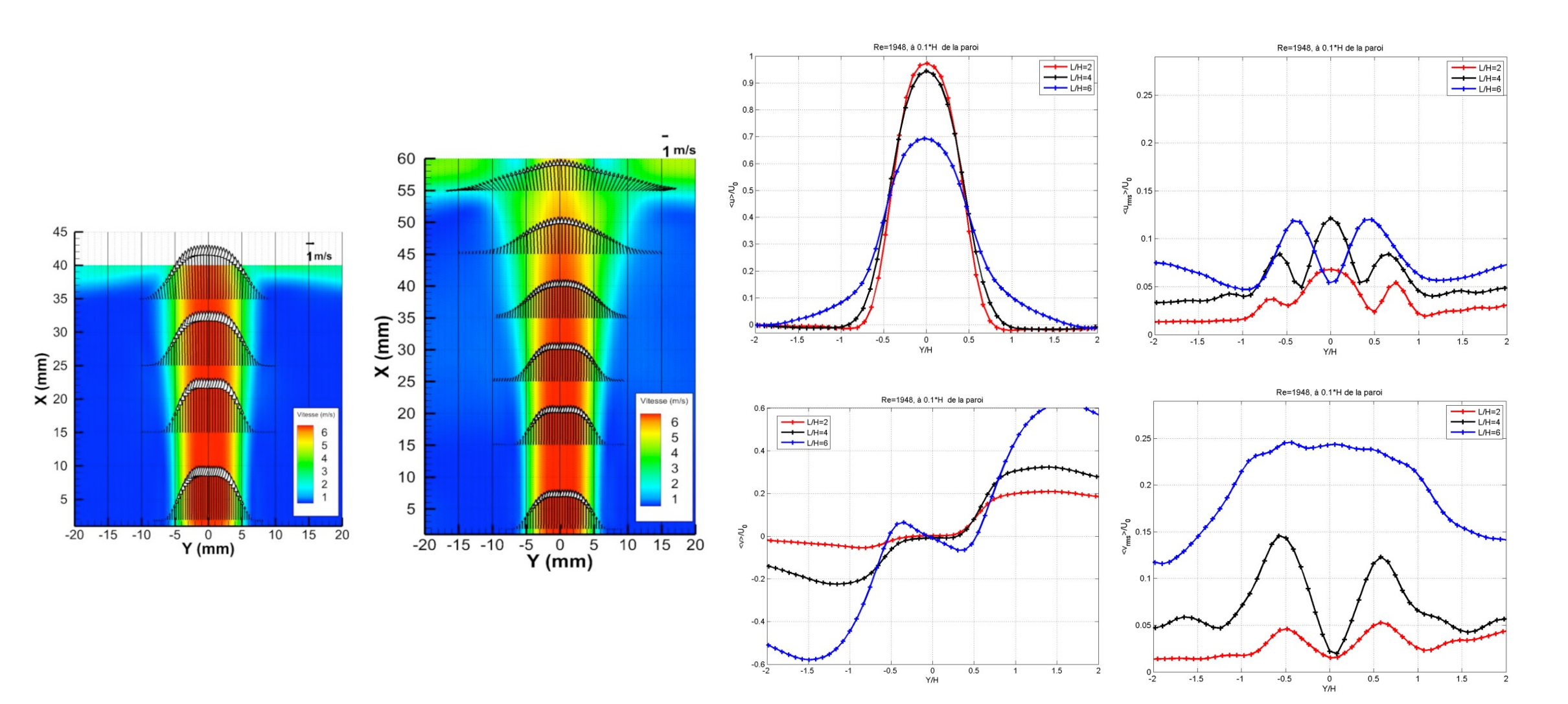
Corrélations entre structures tourbillonnaires et niveaux acoustiques rayonnés

Dynamique tourbillonnaire : <u>influence du rapport d'impact</u> pour un nombre de Reynold donné



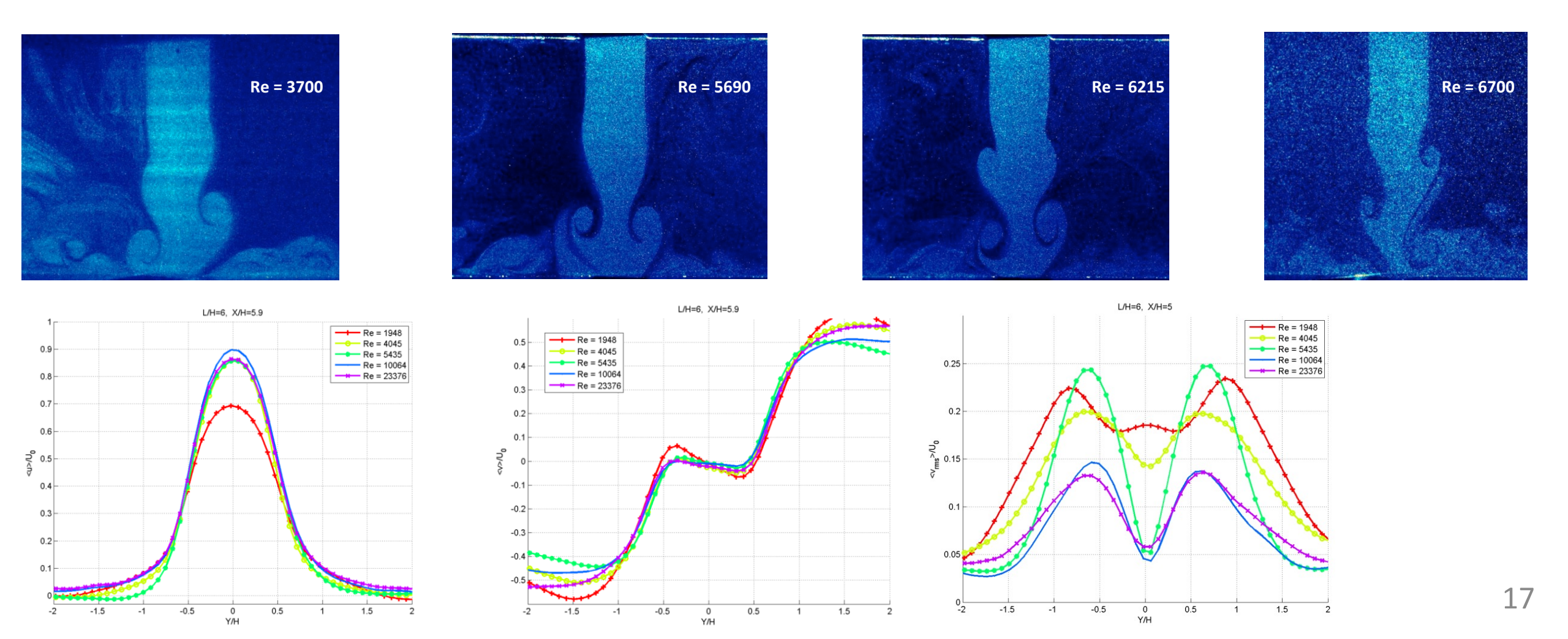
Corrélations entre structures tourbillonnaires et niveaux acoustiques rayonnés

Dynamique tourbillonnaire : influence du rapport d'impact pour un nombre de Reynold donné



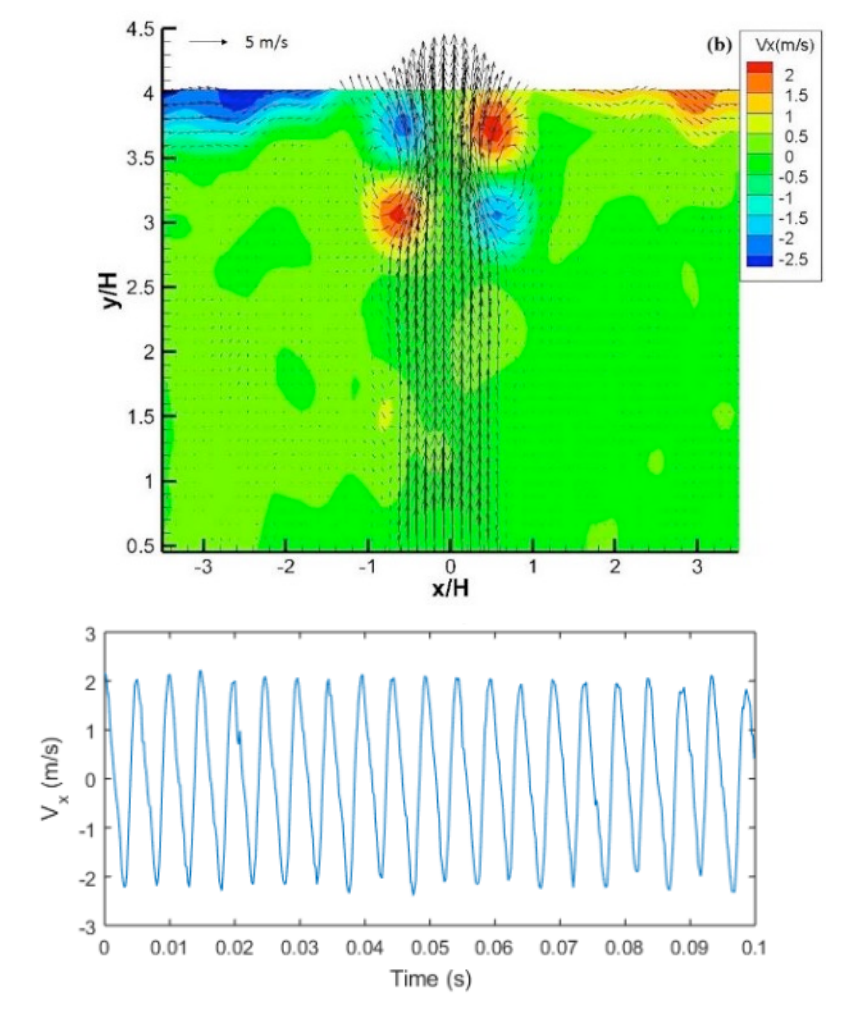
Corrélations entre structures tourbillonnaires et niveaux acoustiques rayonnés

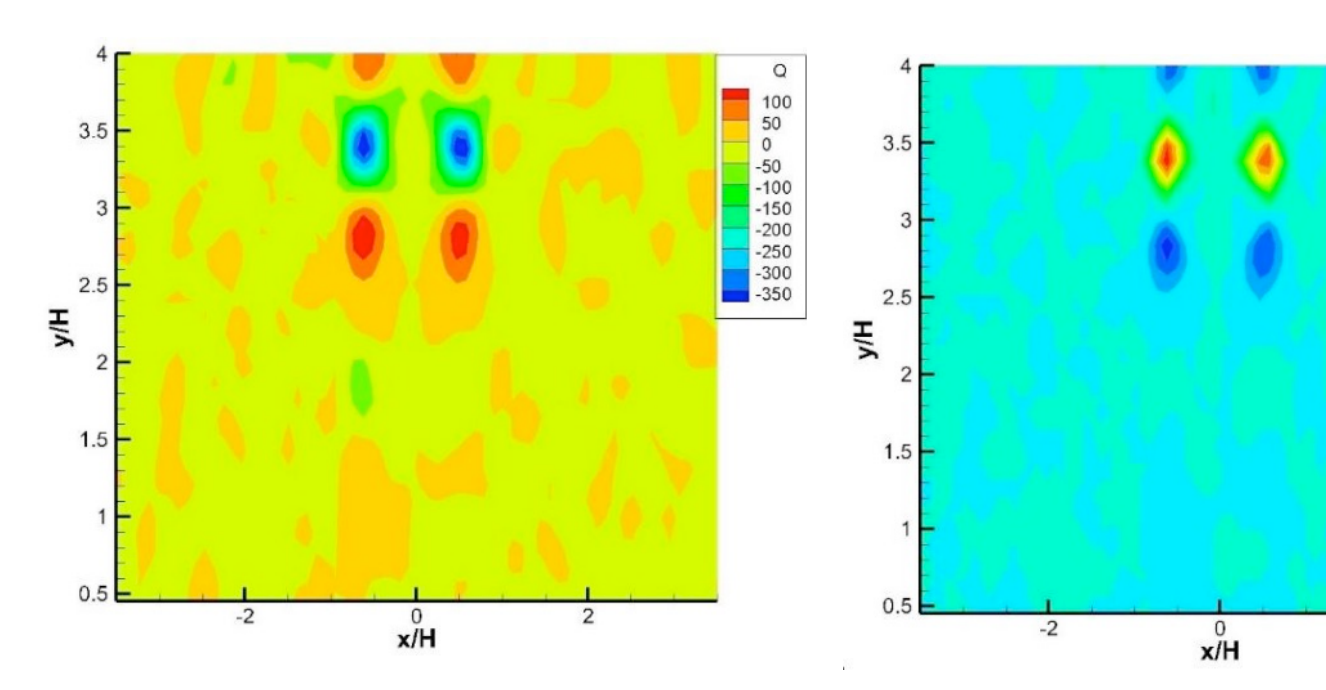
Dynamique tourbillonnaire : influence du nombre de Reynolds pour un rapport d'impact donné



Corrélations entre structures tourbillonnaires et niveaux acoustiques rayonnés

Dynamique tourbillonnaire : <u>évolution temporelle</u>





180 160 140

120

-20 -40 -60

2

Corrélations entre structures tourbillonnaires et niveaux acoustiques rayonnés

